

УДК 538.539

© 1990

ДОМЕННАЯ СТРУКТУРА МАГНИТНОЙ ПЛАСТИНЫ С НЕОДНОРОДНЫМ ОБМЕННО-РЕЛЯТИВИСТСКИМ ВЗАИМОДЕЙСТВИЕМ В ОКРЕСТНОСТИ ТОЧКИ КЮРИ

И. Е. Дикштейн

Исследовано зарождение доменной структуры (ДС) в пластине магнетика без центра инверсии с неоднородным обменно-дипольным взаимодействием Дзялошинского—Мории, которое описывается инвариантом Лифшица, в окрестности точки Кюри. Показано, что в отличие от случая одноосного магнетика, в котором намагниченность в доменной границе меняется по величине, в кристалле с неоднородным обменно-релятивистским взаимодействием образуется ДС со скрученными доменными границами. Построена фазовая (L, T) диаграмма (T — температура, L — толщина пластины) и определены области существования четырех термодинамически равновесных фаз: парафазы, простой спирали и ДС двух типов.

1. Зарождение доменной структуры (ДС) в одноосной магнитной пластине в окрестности точки Кюри исследовалось в [1-3]. Было показано, что даже небольшие отклонения характера магнитной анизотропии от чисто одноосного (наличие кубической анизотропии и ромбической анизотропии в плоскости базиса), а также отклонение оси легкого намагничивания от нормали к поверхности пластины могут привести к существенному изменению распределения намагниченности в пластине, в частности к изменению типа доменных границ образца [4].

С другой стороны, в магнитных кристаллах без центра инверсии неоднородное обменно-релятивистское взаимодействие (ОРВ) Дзялошинского—Мории, вклад которого в свободную энергию описывается инвариантом Лифшица $Q_{ijk} M_i \nabla_j M_k$, может привести к нетривиальному изменению основного состояния и спектра спиновых волн кристалла, например к образованию длиннопериодических спиральных (зонтичных) магнитных структур и возникновению щелей в спектре спиновых волн [5-8].

Ниже будет исследовано зарождение ДС в пластине магнетика, относящегося к кристаллографическому классу D_n (или C_n) ($n=3, 4, 6$), в окрестности точки Кюри. Показано, что ОРВ приводит к возникновению новой магнитной фазы и к изменению типа доменных границ.

2. В длинноволновом приближении свободную энергию одноосной магнитной пластины с осью $\mathbf{n} \parallel \mathbf{e}_z$, относящейся к кристаллографическому классу D_n , в окрестности точки Кюри представим в виде

$$F = (M_0^2/2) \int dv \{ \alpha (\nabla \mathbf{m})^2 - \delta n^2 (\xi - m^2/2) + \beta (m_x^2 + m_y^2) + \beta' m_z^2/2 - h_D \mathbf{m} + \\ + 2\alpha [Q_1 (m_y \nabla_x m_x - m_x \nabla_y m_y) + Q_2 (m_x \nabla_x m_y - m_y \nabla_x m_x - m_x \nabla_y m_x + m_x \nabla_y m_x)] \}, \quad (1)$$

где α, δ — константы неоднородного и однородного обмена; β, β' — константы анизотропии; $\mathbf{m}(\mathbf{r}) = \mathbf{M}(\mathbf{r})/M_0$ — нормированная намагниченность; $\xi = \tilde{M}^2(T)/M_0^2$ (в окрестности точки Кюри $\xi \sim (T_0 - T)/\Theta$, $\Theta \sim T_0$); $\tilde{M}(T)$ — равновесное значение намагниченности при температуре T

в безграничной среде; $\mathbf{h}_D = \mathbf{H}_D/M_0 = \nabla\Psi$ — поле размагничивания; Ψ — магнитостатический потенциал; Q_i — константа ОРВ (далее для простоты полагаем, что $Q_1 = Q_2 = Q$); $M_0 = \tilde{M}$ ($T = 0$).

Решение уравнений Ландау—Халатникова

$$\gamma \dot{m}_i = \alpha \nabla^2 m_i + \delta (\xi - m^2) m_i - \beta m_{\perp i} - \beta' m_z^2 \delta_{z,i} - 2\alpha Q e_{ijk} \nabla_j m_k + h_{D_i} \quad (2)$$

и уравнений магнитостатики с соответствующими граничными условиями на границах пластины $z = \pm L/2$

$$\nabla_x m_i - 2Q e_{ixk} m_k = 0, \quad h_{D_x} + 4\pi m_x = h_{D_x}^{(e)}, \quad h_{D_{\perp}} = h_{D_{\perp}}^{(e)}$$

будем искать в виде

$$\mathbf{m}(\mathbf{r}, t) = \Delta \mathbf{m}(\mathbf{r}) + \delta \mathbf{m}(\mathbf{r}, t),$$

где $\Delta \mathbf{m}$, $\delta \mathbf{m}$ — распределения намагниченности в статической ДС и спиновой волне; γ — параметр затухания; $\mathbf{h}_D^{(e)}$ — поле размагничивания в вакууме; $\delta_{i,k}$ — символ Кронекера; \hat{e} — антисимметричный тензор третьего ранга.

3. Для определения спектра флуктуаций в парафазе Φ_0 ($\Delta \mathbf{m} = 0$) линеаризуем систему уравнений (2) и уравнений магнитостатики и будем искать решение линеаризованной системы уравнений в виде

$$\begin{aligned} \delta \mathbf{m} &= \sum_{j=1}^4 (A_j \exp i q_j z + \text{к. с.}) \exp i (kx - \omega t), \\ \delta \Psi &= \sum_{j=1}^4 (B_j \exp i q_j z + \text{к. с.}) \exp i (kx - \omega t), \end{aligned} \quad (3)$$

где q_j — корни характеристического уравнения системы (2)

$$(p^2 + \beta - \eta) [p^2 (p^2 - \eta) (p^2 - \eta + \beta + 4\pi) + 4\pi\beta (p^2 - x^2)] - 4\alpha Q^2 p^2 [(p^2 - \eta + 4\pi) p^2 + \beta x^2] = 0, \quad (p^2 = \alpha (q^2 + k^2), \quad x^2 = \alpha k^2, \quad \eta = \delta\xi + i\gamma\omega). \quad (4)$$

Амплитуды A_j связаны соотношениями

$$\begin{aligned} A_{xj} &= -\alpha k q_j A_{zj} [4\pi (p_j^2 + \beta - \eta) + 4\alpha Q^2 p_j^2] \{ (p_j^2 + \beta - \eta) [p_j^2 (p_j^2 + \beta - \eta) - 4\pi x^2] - \\ &\quad - 4\alpha Q^2 (p_j^2 - x^2) p_j^2 \}^{-1}, \quad A_{yj} = -2i\alpha Q (q_j A_{xj} - k A_{zj}) / (p_j^2 + \beta - \eta), \\ A_{zj}^* (q_j) &= A_j (-q_j). \end{aligned} \quad (5)$$

Подставляя (3)—(5) в граничные условия, получаем дисперсионное уравнение¹ для определения спектра флуктуаций в Φ_0 . В общем случае его анализ достаточно громоздок, поэтому ограничимся рассмотрением некоторых частных случаев. Ниже будет показано, что в случае, если анизотропия магнетика достаточно велика ($\beta > \alpha Q^2$) и толщина пластины L превышает критическое значение L_D , Φ_0 теряет устойчивость относительно образования ДС (фаза Φ_D). Обратный период зарождающейся ДС $k_c = 2\pi/D_c$ и температура T_c потери устойчивости Φ_0 определяются из условий обращения в нуль декремента и групповой скорости флуктуации

$$\omega = 0, \quad \nabla_k \omega = 0. \quad (6)$$

Можно показать (ср. с [1]), что в случае толстых пластин ($L \gg \sqrt{\alpha}$, Q^{-1}) для определения спектра флуктуаций при $k \sim k_c$ и $T \sim T_c$ достаточно учесть лишь граничное условие, следующее из непрерывности B_x и H_{Dz} , а в разложениях (3) можно ограничиться Фурье-компонентой с минималь-

¹ Система уравнений (2) и уравнений магнитостатики имеет симметричное и антисимметричное решения относительно центра пластины. Анализ показывает, что устойчивость фазы Φ_0 нарушается относительно симметричных флуктуаций [1]. Поэтому антисимметричные флуктуации далее рассматриваться не будут.

ным значением $q=q_1 \approx \pi/L$. Подставляя значение $q = \pi/L$ в (4), для флуктуации, обладающей минимальным декрементом, получаем

$$i\gamma\omega = \Omega \left(\Omega = -\delta\zeta + 4\pi^2/(\mu_{\perp}k^2L^2) + \sum_{n=1}^{\infty} (ak^2)^n f_n \right), \quad (7)$$

где $f_1 = 1 - 4\nu$, $f_2 = [\alpha/\alpha + 4(\mu_{\perp} - 1 + \mu_{\perp}^{-1})\nu - (2\mu_{\perp} - 1)(1 - 4\nu)^2]/(4\pi)$, \dots , $\mu_{\perp} = 1 + 4\pi/\beta$, $\nu = \alpha Q^2/\beta$. При выводе (7) использовались следующие члены разложения энергии неоднородного обмена, которые описываются инвариантом $1/2\alpha'M_0^2(\nabla^2\mathbf{m})^2$.

Из условий (7) определяем k_c и $T_c^{(D)}$ в виде

$$k_c = [4\pi^2/(\mu_{\perp}\alpha f_1 L^2)]^{1/4}, \quad T_c^{(D)} = T_0 - 2ak_c^2 f_1 \Theta/\delta, \quad 0 < \nu < 1/4, \\ k_c = [2\pi^2/(\mu_{\perp}\alpha^2 f_2 L^2)]^{1/4}, \quad T_c^{(D)} = T_0 - 3\pi^2\delta^{-1}\Theta [4\alpha^2 f_2/(\mu_{\perp}^2 L^4)]^{1/2}, \quad \nu = 1/4. \quad (8)$$

Таким образом, в пластине конечной толщины температура фазового перехода (ФП) T_c смещается по отношению к температуре Кюри T_0 бесконечного образца в сторону низких температур, причем величина этого смещения уменьшается с ростом Q . Образование ДС уменьшает дипольную энергию пластины, а также энергию неоднородного обменно-релятивистского взаимодействия. Снизу размер доменов ограничивается энергией доменных границ. Из (8) следует, что с ростом Q неоднородное обменно-релятивистское взаимодействие частично компенсирует обменную энергию (уменьшается коэффициент f_1 при ak^2), что приводит к уменьшению периода ДС (см. (8)). При $\nu = 1/4$ коэффициент f_1 меняет знак. Поэтому при $1/4 < \nu < 1$ для определения зависимостей $k_c(L)$ и $T_c(L)$ необходимо учитывать следующие члены разложения Ω по ak^2 . Здесь эти зависимости не приводятся ввиду их громоздкости. При $k=0$ декременты флуктуаций равны

$$i\gamma\omega_1 = 4\pi - \delta\zeta, \quad i\gamma\omega_2, 3 = \beta - \alpha Q^2 - \delta\zeta. \quad (9)$$

Из условия обращения декрементов $\omega_2, 3$ в нуль следует, что Φ_0 теряет устойчивость относительно перехода в простую спираль (фаза Φ_c) (см. вставку I на рисунке) с осью $\mathbf{n}_0 \parallel \mathbf{e}_z$ при $T_c^{(c)} = T_0 - (\beta - \alpha Q^2)\Theta/\delta$.

Можно показать [1], что ФП $\Phi_0 \rightleftharpoons \Phi_D$ и $\Phi_0 \rightleftharpoons \Phi_c$ являются ФП II рода. Поэтому, сравнивая температуры $T_c^{(D)}$ и $T_c^{(c)}$, видим, что при $\beta - \alpha Q^2 < 0$ выполняется соотношение $T_c^{(c)} > T_c^{(D)}$, т. е. всегда имеет место ФП $\Phi_0 \rightleftharpoons \Phi_c$. При $0 < \beta - \alpha Q^2 < 4\pi$ в интервале толщин $L > L_D$ температура $T_c^{(D)} > T_c^{(c)}$ и имеет место ФП $\Phi_0 \rightleftharpoons \Phi_D$, а в интервале толщин $L < L_D$ температура $T_c^{(D)} < T_c^{(c)}$ и происходит ФП $\Phi_0 \rightleftharpoons \Phi_c$. Критическая толщина L_D равна

$$L_D = \begin{cases} \{16\pi^2\alpha(1-4\nu)/[\mu_{\perp}\beta^2(1-\nu)^2]\}^{1/2}, & \nu < 1/4, \\ [4\pi^6 f_2/(\mu_{\perp}\alpha Q^6)]^{1/4}, & \nu = 1/4. \end{cases} \quad (10)$$

Линии ФП $\Phi_0 \rightleftharpoons \Phi_D$ и $\Phi_0 \rightleftharpoons \Phi_c$ представлены на фазовой T, L диаграмме (см. рисунок). Можно показать, что линия ФП $\Phi_0 \rightleftharpoons \Phi_D$ соответствует вертикальному отрезку $L = L_D$ фазовой диаграммы.

4. В доменной фазе статическое распределение намагниченности $\Delta\mathbf{m}$ и потенциала $\Delta\Psi$ разложим в ряд Фурье [1]

$$\Delta\mathbf{m}_{\perp} = \sum_{n=1}^{\infty} \lambda^n \mathbf{A}_{\perp n}(z) \sin nkx, \quad \Delta m_x = \sum_{n=1}^{\infty} \lambda^n A_{xn}(z) \cos nkx, \\ \Delta\Psi = \sum_{n=1}^{\infty} \lambda^n B_n(z) \cos nkx, \quad (11)$$

где λ — малый параметр, пропорциональный отклонению от температуры ФП $T_c^{(D)}$. Подставляя (11) в (1), (2), получаем соответственно свободную энергию магнетика с ДС и уравнение для амплитуды A_{x1} в форме

$$F = -9(\delta + \beta')\lambda^4 A_{x1}^2/256, \quad \Omega + 9\lambda^2(\delta + \beta')A_{x1}^2/16 = 0. \quad (12)$$

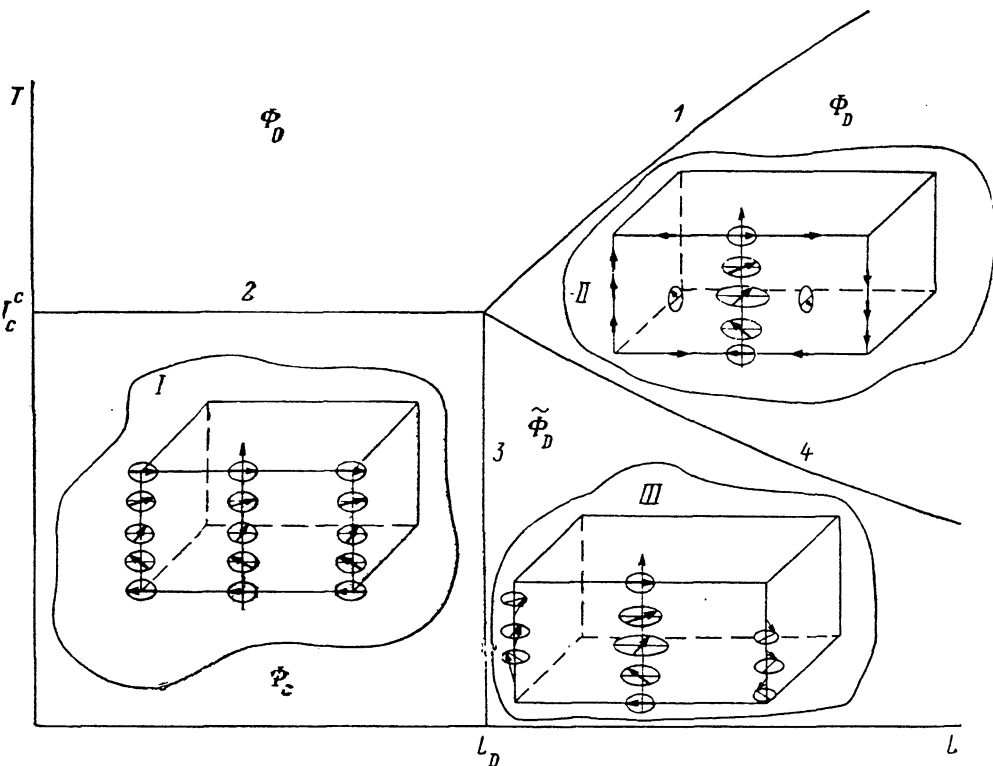
Из (12) следует, что ФП $\Phi_0 \approx \Phi_D$ остается ФП II рода и при наличии ОРВ, поскольку коэффициент при λ^4 не меняет знак. Условия минимума энергии $\nabla_k F = 0$ и $\nabla_k^2 F \geq 0$ позволяют определить параметры ДС. Критические величины k_c и T_c совпадают с найденными из решения динамической задачи, а распределение намагниченности имеет вид

$$\begin{aligned} \Delta m_y &\approx \lambda A_{x1} \cos(\pi z/L) \cos kx, & \Delta m_x &\approx \lambda A_{z1} \sin(\pi z/L) \sin kx, \\ \Delta m_y &\approx \lambda A_{y1} \cos(\pi z/L) \sin kx, \end{aligned} \quad (13)$$

где

$$\begin{aligned} A_{x1} &\approx 4\alpha kq (\nu + \pi/\pi^2)/(\mu_1 \beta), & A_{y1} &\approx -2\alpha Q (q A_{x1} + k A_{z1})/\beta, \\ \lambda A_{z1} &= \{16\delta (T_c^{(D)} - T)/[9(\delta + \beta')\theta]\}^{1/2}. \end{aligned}$$

Распределение намагниченности в ДС представлено на вставке II к рис. В отличие от случая одноосного магнетика при $Q=0$, у которого



Фазовая диаграмма (T, L) магнитной пластины в окрестности точки Кюри.

намагниченность в доменной границе вблизи точки Кюри меняется по величине [9], в кристаллах с неоднородным обменно-релятивистским взаимодействием образуется ДС со скрученными доменными границами. Распределение намагниченности в плоскости $z=0$ напоминает распределение намагниченности в простой спирали. С ростом ν период этой спирали уменьшается.

Статическая ДС создает периодически-неоднородный потенциал в плоскости пластины с периодом D_c , поэтому решения уравнений (2) и уравнений магнитостатики с граничными условиями будем искать в виде разложения по функциям Блоха [2]

$$\mathfrak{m} = \sum_{n=-\infty}^{\infty} \left| \sum_{p=1}^{\infty} \exp i[(G + nk_c)x - \omega t] [A_{nm} \cos(p\pi z/L) + C_{nm} \sin(p\pi z/L)] \right|.$$

Мягкая мода, соответствующая в однородной фазе ветви (7), расщепляется при $k=k_c$ на акустическую и оптическую ветви, декременты которых определяются выражениями

$$i\gamma\omega_1 = 4\alpha(1-4\nu)G^2, \quad i\gamma\omega_2 = i\gamma\omega_1 + 2\delta(T_c^{(D)} - T)/\theta, \quad \nu < 1/4,$$

$$i\gamma\omega_1 = 3\alpha k_c^2 G^2/Q^2, \quad i\gamma\omega_2 = i\gamma\omega_1 + 2\delta(T_c^{(D)} - T)/\theta, \quad \nu = 1/4. \quad (14)$$

Из (14) следует, что скорость флуктуаций с ростом ν уменьшается. При $k=0$ для флуктуации, обладающей минимальным декрементом, получаем

$$i\gamma\omega = \delta(5\delta + 9\beta')(T - \tilde{T}_c^{(D)})/[19(\delta + \beta')\theta],$$

где

$$\tilde{T}_c^{(D)} = \begin{cases} T_0 - \theta[9\beta(\delta + \beta')(1-\nu)/\delta - 8\alpha k_c^2(1-4\nu)]/(5\delta + 9\beta'), & \nu < 1/4, \\ T_0 - 3\theta[9\alpha Q^2(\delta + \beta')/\delta - \alpha k_c^2/Q^2]/(5\delta + 9\beta'), & \nu = 1/4. \end{cases}$$

При $T = \tilde{T}_c^{(D)}$ фаза Φ_D с $m \parallel e_x$ в центре домена теряет устойчивость относительно появления составляющей намагниченности $m_{\perp} \perp e_x$ (фаза $\tilde{\Phi}_D$). В фазе $\tilde{\Phi}_D$ распределение намагниченности в центре домена напоминает распределение $m(z)$ в зонтичной структуре (см. вставку III на рисунке). Можно показать, что переход $\Phi_D \rightleftharpoons \tilde{\Phi}_D$ также является ФП II рода, а угол раскрытия зонтичной структуры $\epsilon \sim (\tilde{T}_c^{(D)} - T)^{1/2}$.

Таким образом, на фазовой T, L диаграмме (см. рисунок) имеют место четыре линии ФП II рода: $\Phi_0 \rightleftharpoons \Phi_D$ (кривая 1), $\Phi_0 \rightleftharpoons \Phi_c$ (кривая 2), $\Phi_c \rightleftharpoons \tilde{\Phi}_D$ (кривая 3), $\Phi_D \rightleftharpoons \tilde{\Phi}_D$ (кривая 4). Все кривые пересекаются в тетракритической точке $T_c^{(c)}, L_D$.

Обобщение полученных результатов на кристаллографический класс C_n не представляет труда. Однако класс C_n помимо рассмотренных допускает инварианты $\alpha Q_3 [m_x(\nabla_{\perp} m_{\perp}) - (m_{\perp} \nabla_{\perp}) m_x]$ [10], которые, как показывает анализ, приводят к связи симметричных и антисимметричных мод и, как следствие, к несимметричному распределению намагниченности относительно центра пластины в ДС.

В заключение отметим, что все расчеты приводились в рамках теории фазовых переходов Ландау, которая применима, когда флуктуациями параметра порядка можно пренебречь. Вблизи точки Кюри результаты применимы только для магнетиков с большим радиусом корреляции.

Автор благодарит С. В. Геруса и В. В. Тарасенко за полезные дискуссии.

Список литературы

- [1] Тарасенко В. В., Ченский Е. В., Дикштейн И. Е. // ЖЭТФ. 1976. Т. 70. № 6. С. 2178—2188; Дикштейн И. Е., Лисовский Ф. В., Мансветова Е. Г., Тарасенко В. В. // ЖЭТФ. 1984. Т. 86. № 4. С. 1473—1494.
- [2] Баръяхтар В. Г., Иванов Б. А. // Физика конденсированного состояния и применение ядерно-физических методов в биологии. Л., 1979. С. 94—154; Зуев А. В., Сукстанский А. Л. // ФТТ. 1981. Т. 23. № 7. С. 2195—2197.
- [3] Szymczak R., Piotrowski K., Szewczyk A. // Physica B+C. 1982. V. 113. N 1. P. 113—117.
- [4] Дикштейн И. Е., Лисовский Ф. В., Мансветова Е. Г., Чижик Е. С. // ФТТ. 1986. Т. 28. № 12. С. 3752—3756.
- [5] Дзялошинский И. Е. // ЖЭТФ. 1964. Т. 46. № 4. С. 1420—1437.
- [6] Баръяхтар В. Г., Стафановский Е. П. // ФТТ. 1969. Т. 11. № 7. С. 1946—1953.
- [7] Иязомов Ю. А. // УФН. 1984. Т. 144. № 3. С. 439—474.
- [8] Соболева Т. К., Стафановский Е. П. // ФММ. 1982. Т. 54. № 1. С. 186—188.
- [9] Булаевский Л. Н., Гинзбург В. Л. // ЖЭТФ. 1963. Т. 45. № 3(9). С. 772—779.
- [10] Богданов А. Н., Яблонский Д. А. // ЖЭТФ. 1989. Т. 95. № 1. С. 178—182.

Институт радиотехники и электроники АН СССР
Фрязино
Московская область

Поступило в Редакцию
8 февраля 1990 г.